



Physik der Kondensierten Materie 2

Rudolf Gross

SS 2021

Teil 9

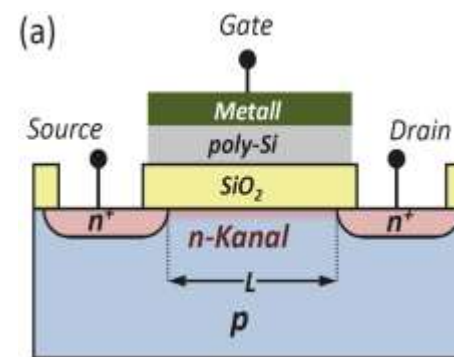
Vorlesungsstunde: 26.04.2021-1

• Realisierung von 2DEGs durch Halbleiter-Heterostrukturen

- gute Gitteranpassung von verschiedenen Halbleitermaterialien erlaubt **Heteroepitaxie**
- unterschiedliche Elektronenaffinitäten χ und Energielücken E_g von HL
 → **unterschiedliche Banddiskontinuitäten** (normal, gestapelt, gebrochen)
- **Bandverbiegungen** durch unterschiedliche Elektronenaffinitäten χ und Energielücken E_g
- Beispiele: (i) **isotypische HL-Heterostrukturen**, (ii) **Kompositionsübergitter**, (iii) **Dotierungsübergitter**

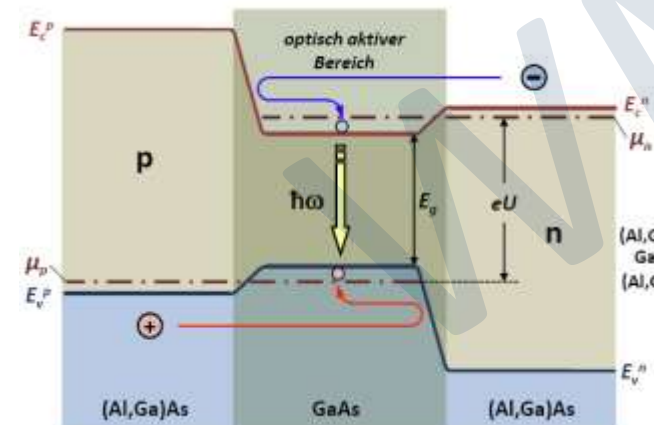
• MOSFET

- Realisierung von 2DEGs, Patentierung bereits 1926 und 1934
- technisch relevant erst nach 1960 → Si/SiO₂ Systeme mit reproduzierbarer HL/Isolator-Grenzfläche
- Realisierung von **Inversionskanal** an HL-Oberfläche über elektrischen Feldeffekt
- Verkürzung der Kanallänge: Mooresches Gesetz
- Entdeckung des Quanten-Hall-Effekts (1980)



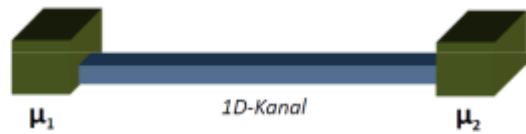
• Halbleiter-Laser

- Erzeugung von Laser-Licht durch LT-Rekombination in pn -artiger Struktur
- z.B. **Double Heterostructure Injection Laser** (H. Kroemer)
- wichtige Anwendungen: optische Kommunikation und Datenspeicher



Zusammenfassung: Teil 8b, 20.04.2021/2

• Leitwertquantisierung in 1D Elektronengas (Wiederholung)



$$I = \frac{e^2}{h} U \quad \text{mit} \quad R_K = \frac{1}{G_K} = \frac{h}{e^2} = 25\,812.807\,4555(59) \, \Omega$$

von Klitzing-Konstante

• Quanten-Hall-Effekt: 2DEG in Magnetfeld

- entartete Landau-Niveaus (für eine Spin-Richtung)

$$p = \frac{L_y}{2\pi} \frac{m\omega_c}{\hbar} L_x = \hbar\omega_c D_{2D} = L_x L_y B \frac{e}{2\pi\hbar} = \frac{\Phi}{2\Phi_0} \quad (\Phi_0 = \frac{h}{2e} = \text{Flussquant})$$

$D_{2D} = \frac{m}{2\pi\hbar^2} L_x L_y$

- Transport charakterisiert durch **Tensoren der elektrischen Leitfähigkeit bzw. des spezifischen elektrischen Widerstands**

$$\begin{pmatrix} J_x \\ J_y \end{pmatrix} = \begin{pmatrix} \sigma_{xx} & \sigma_{xy} \\ \sigma_{yx} & \sigma_{yy} \end{pmatrix} \begin{pmatrix} E_x \\ E_y \end{pmatrix}$$

$\begin{aligned} \sigma_{xx} &= \frac{\rho_{xx}}{\rho_{xx}^2 + \rho_{xy}^2} \\ \sigma_{yy} &= \sigma_{xx} \end{aligned}$	\longleftrightarrow	$\begin{aligned} \rho_{xx} &= \frac{\sigma_{xx}}{\sigma_{xx}^2 + \sigma_{xy}^2} \\ \rho_{yy} &= \rho_{xx} \end{aligned}$	$\begin{aligned} \rho_{xy} &= \frac{-\sigma_{xy}}{\sigma_{xx}^2 + \sigma_{xy}^2} \\ \rho_{yx} &= -\rho_{xy} \end{aligned}$
--	-----------------------	--	--

- Hall-Effekt: Kompensation von Lorentz-Kraft $(-e)v_x B_z$ und $(-e)E_y$: $-ev_x B_z - eE_y = -ev_x B_z - eU_y/L_y = 0 \Rightarrow U_y = -v_x B_z L_y$
 Stromdichte J_x in Längsrichtung: $J_x = n_{2D} e v_x \Rightarrow \rho_{xy} = E_y/J_x = (U_y/L_y)/(n_{2D} e v_x) = -B_z/n_{2D} e = R_H B$ mit $R_H = -1/n_{2D} e$

- für sehr reine Proben: $\omega_c \tau \gg 1 \Rightarrow \sigma_{xx}, \sigma_{yy} \rightarrow 0$: $\rho_{xy} = -\frac{\sigma_{xy}}{\sigma_{xx}^2 + \sigma_{xy}^2} \approx -\frac{1}{\sigma_{xy}} \Rightarrow \sigma_{xy} \approx -\frac{1}{\rho_{xy}} = \frac{n_{2D} e}{B}$

• Entdeckung des Quanten-Hall-Effekts:

Klitzing, Dorda Pepper (1980) mit 2DEG in MOSFET

→ ρ_{xy} zeigt Plateaus an den Stellen, an denen $\sigma_{xx} \rightarrow 0$

→ Abstand der Plateaus: $R_K = \frac{h}{e^2} = 25\,812.807\,572(95) \, \Omega$

$$\rho_{xy} = -\frac{1}{\sigma_{xy}} = -\frac{B}{n_{2D} e} = R_H B$$

für n gefüllte Landau-Niveaus mit Entartung p

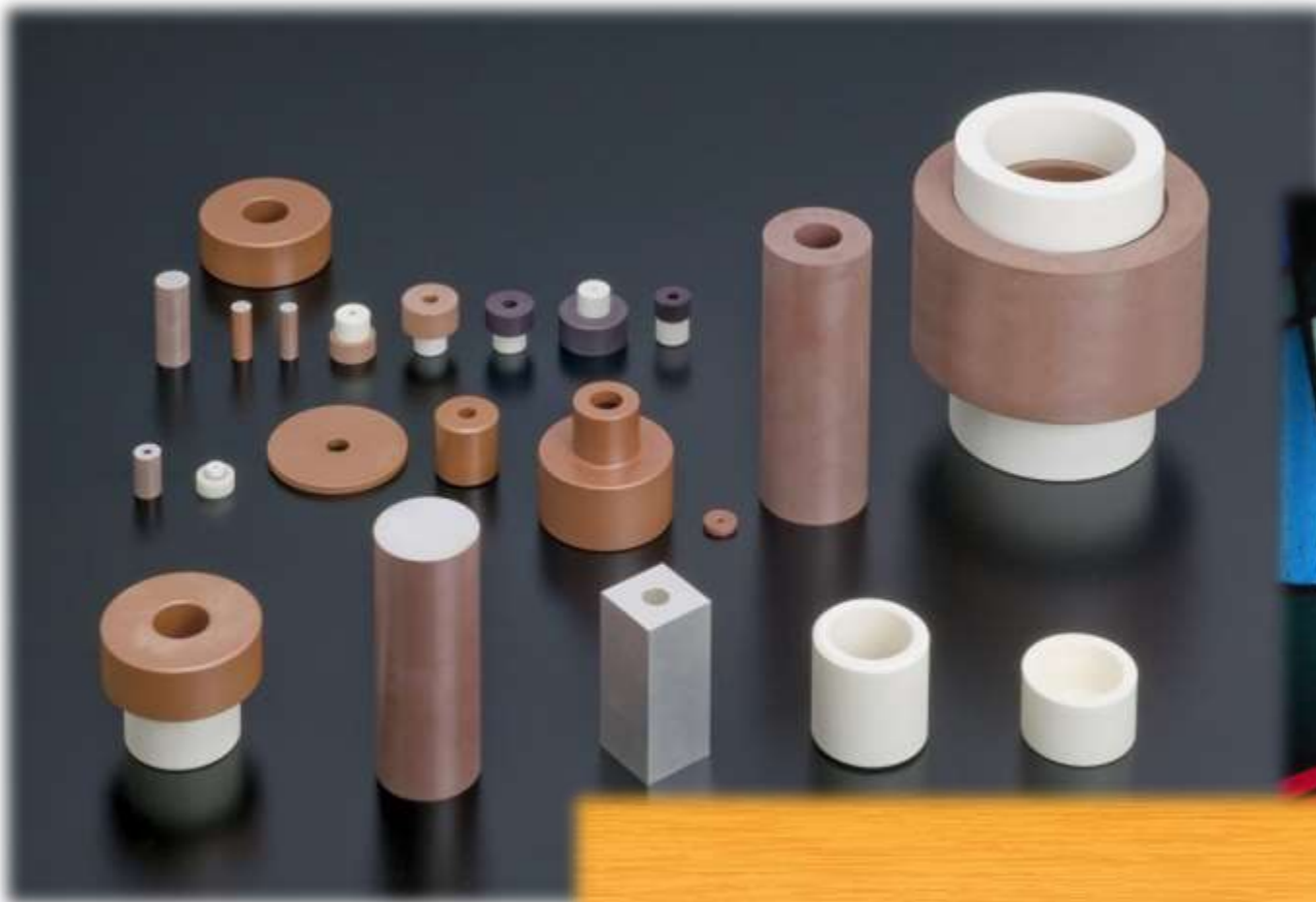
$$n_{2D} = \frac{N_e}{L_x L_y} = \frac{n \cdot p}{L_x L_y} = n \frac{eB}{2\pi\hbar} \Rightarrow \rho_{xy} = \frac{h}{e^2} \frac{1}{n}$$

Kapitel 11

Dielektrische Eigenschaften

WZM

11 Dielektrische Eigenschaften

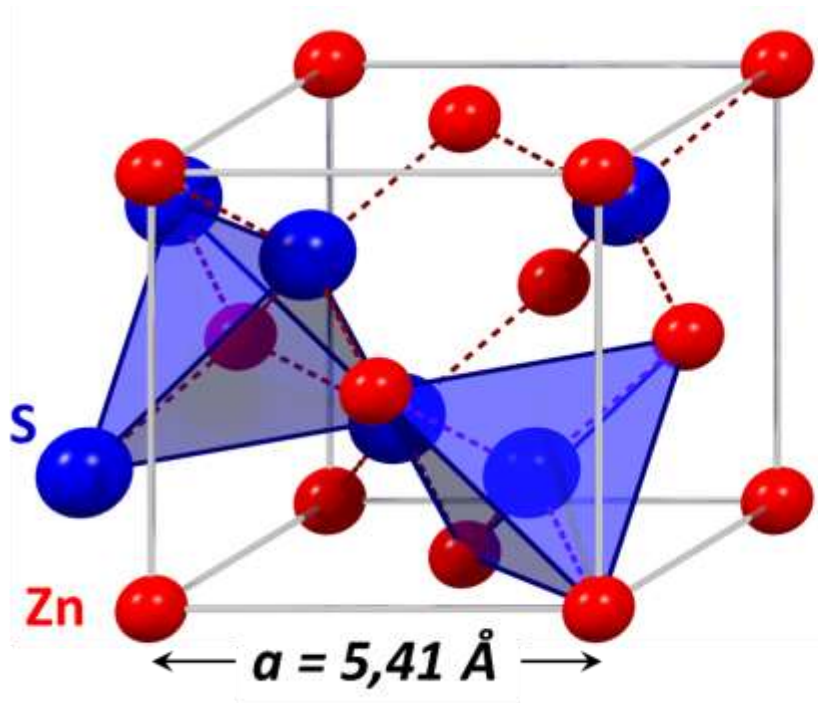


11 Dielektrische Eigenschaften

- **Frage: Wie verhalten sich FK bei Störung durch elektromagnetische Felder**
 - **Kapitel 9:** Bewegung einzelner Elektronen in Festkörper aufgrund von äußeren Kräften durch E - und B -Feld
 - **Kapitel 11:** Reaktion des Festkörpers *insgesamt* auf Störung durch E - und B -Felder
 - *insgesamt* bedeutet: wir betrachten FK als Kontinuum und beschreiben seine Antwort auf eine Störung durch eine Materialkonstante $\chi(\omega, q)$ → **verallgemeinerte Suszeptibilität**
 - wir beschränken uns meistens auf den Fall der **linearen Antwort (linear response)** bei kleinen Störungen
 - **Beschreibung der Wechselwirkung eines Festkörpers mit einem elektromagnetischen Feld:**
 - **mikroskopisch:** z.B. Absorption von einzelem Photon, Erzeugung von FK-Anregungen (Phononen, e-h-Paare)
 - **makroskopisch:** basierend auf Maxwell-Gleichungen, FK-Reaktion steckt in makroskopischer Materialkonstante (elektrische oder magnetische Suszeptibilität)
 - **Frage: *Wie hängt makroskopische Materialkonstante mit den mikroskopischen FK-Eigenschaften zusammen?***
 - **Wovon hängt die Reaktion des Festkörpers auf das elektromagnetische Feld ab?**
 - Beweglichkeit der Ladungen → große Unterschiede zwischen Metallen und Isolatoren
 - Frequenz und Wellenvektor → $\chi = \chi(\omega, q)$: **charakteristische Längen- und Zeitskalen**

11 Dielektrische Eigenschaften

- Kontinuumsbeschreibung von Festkörpern



Zinkblende

typische Längenskala von physikalischen Prozessen \gg Atomabstand

Wellenlänge \gg 1 Ångström

WMI

11 Dielektrische Eigenschaften

- Kontinuumsbeschreibung von Festkörpern

- elastische Wellen:** $\lambda = \frac{v_s}{f}$ Schallgeschwindigkeit $v_s \simeq 1\,000\text{ m/s}$

$$\lambda \simeq 1\text{ m} \quad @ f = 1\text{ kHz}$$

$$\lambda \simeq 1\text{ mm} \quad @ f = 1\text{ MHz}$$

$$\lambda \simeq 1\text{ }\mu\text{m} \quad @ f = 1\text{ GHz}$$

- elektromagnetische Wellen:** $\lambda = \frac{\bar{c}}{f}$ Lichtgeschwindigkeit $\bar{c} = c/n \simeq 10^8\text{ m/s}$

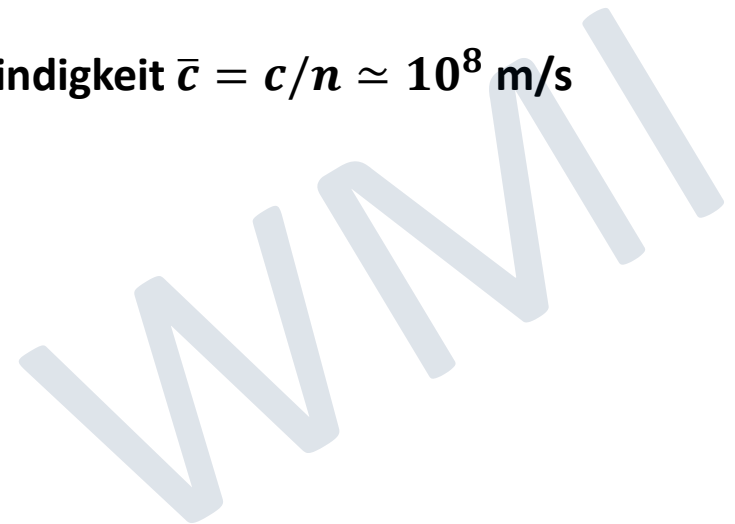
$$\lambda \simeq 100\text{ km} \quad @ f = 1\text{ kHz}$$

$$\lambda \simeq 100\text{ m} \quad @ f = 1\text{ MHz}$$

$$\lambda \simeq 100\text{ mm} \quad @ f = 1\text{ GHz}$$

$$\lambda \simeq 100\text{ }\mu\text{m} \quad @ f = 1\text{ THz}$$

$$\lambda \simeq 100\text{ nm} \quad @ f = 1\text{ PHz}$$



11 Dielektrische Eigenschaften

- Lineare Antwort eines Festkörpers auf äußere Störungen

Antwort	Störung	verallg. Suszeptibilität
Volumenausdehnung $\Delta V/V$	Druck $p = F/A$	Kompressibilität κ : $\Delta V/V = -\kappa p$
Elektrische Stromdichte \vec{J}_q	elektrisches Feld \vec{E}	elektrische Leitfähigkeit σ : $\vec{J}_q = \sigma \vec{E}$
Wärmestromdichte \vec{J}_h	T -Gradient $\vec{\nabla}T$	Wärmeleitfähigkeit κ_h : $\vec{J}_h = -\kappa_h \vec{\nabla}T$
Polarisation \vec{P}	elektrisches Feld \vec{E}	elektrische Suszeptibilität χ_{el} : $\vec{P} = \chi_{el} \epsilon_0 \vec{E}$
Magnetisierung \vec{M}	magnetisches Feld \vec{H}	magn. Suszeptibilität χ_{mag} : $\mu_0 \vec{M} = \chi_{mag} \mu_0 \vec{H}$

verallgemeinerte Suszeptibilität = Kontinuumseigenschaft

11.1 Makroskopische Elektrodynamik

- Beschreibung der Reaktion eines Festkörpers auf E -Feld im Rahmen der Kontinuumstheorie

11.1.1 Elektrische Suszeptibilität und dielektrische Funktion

I. **Isolator** in E -Feld $\mathbf{E}(\mathbf{r}, t) = \mathbf{E}(\mathbf{q}, \omega) \exp(i[\mathbf{q} \cdot \mathbf{r} - \omega t])$ (nur gebundene Elektronen)

- E -Feld verschiebt den positiven und negativen Ladungsschwerpunkt der Atome gegeneinander
 - elektrisches Dipolmoment des i -ten Atoms: $\mathbf{p}_{\text{el},i} = q_i \mathbf{r}_i$ ($q_i = \text{Ladung}$, $\mathbf{r}_i = \text{Verschiebung}$)
 - gesamtes Dipolmoment $\mathbf{p}_{\text{el}} = \sum_i q_i \mathbf{r}_i$ $[p_{\text{el}}] = \text{Ladung} \cdot \text{Länge} = \text{As m} = \text{C m}$
 - **elektrische Polarisation** $\mathbf{P} = \mathbf{p}_{\text{el}}/V$ $[P] = \frac{\text{Ladung}}{\text{Fläche}} = \frac{\text{As}}{\text{m}^2}$
- Beschreibung der Polarisation P als lineare Antwort auf E -Feld im Rahmen der Kontinuumstheorie:

$$P_i(\mathbf{r}', t') = \epsilon_0 \sum_j \int \chi_{ij}(\mathbf{r}, t, \mathbf{r}', t') E_j(\mathbf{r}, t) d^3r dt$$

(Faltungsintegral)

i -te Komponente von P

Tensor der

dielektrischen Suszeptibilität

j -te Komponente von E

$\chi_{ij}(\mathbf{r}, t, \mathbf{r}', t') \rightarrow \chi_{ij}(\mathbf{r} - \mathbf{r}', t - t')$ falls Raum und Zeit homogen sind

11.1.1 Dielektrische Funktion

- Darstellung der dielektrischen Funktion/Suszeptibilität im (\mathbf{q}, ω) -Raum

FT

(\mathbf{r}, t) -Raum

$$P_i(\mathbf{r}', t') = \epsilon_0 \sum_j \int \chi_{ij}(\mathbf{r}, t, \mathbf{r}', t') E_j(\mathbf{r}, t) d^3r dt$$

Faltungssatz: die Fourier-Transformierte der Faltung zweier Funktionen ist gleich dem Produkt der FT der beiden Funktionen

(\mathbf{q}, ω) -Raum

$$P_i(\mathbf{q}, \omega) = \epsilon_0 \sum_j \chi_{ij}(\mathbf{q}, \omega) E_j(\mathbf{q}, \omega)$$

- Beiträge höherer Ordnung (nichtlineare Antwort)

$$P_i = \epsilon_0 \sum_j \chi_{ij}^{(1)} E_j + \epsilon_0 \underbrace{\sum_{jk} \chi_{ijk}^{(2)} E_j E_k}_{\text{Pockels-Effekt}} + \epsilon_0 \underbrace{\sum_{jkl} \chi_{ijkl}^{(3)} E_j E_k E_l}_{\text{Kerr-Effekt}}$$

Pockels-Effekt

Kerr-Effekt

11.1.1 Dielektrische Funktion

- **Dielektrische Verschiebung** (es gilt: $\mathbf{D}(\mathbf{r}, t) = \epsilon_0 \mathbf{E}(\mathbf{r}, t) + \mathbf{P}(\mathbf{r}, t) = \epsilon_0 [\mathbf{E}(\mathbf{r}, t) + \chi(\mathbf{r}, t)\mathbf{E}(\mathbf{r}, t)] = \epsilon_0 [\mathbf{1} + \chi(\mathbf{r}, t)]\mathbf{E}(\mathbf{r}, t)$)

$$D_i(\mathbf{q}, \omega) = \epsilon_0 \sum_j \epsilon_{ij}(\mathbf{q}, \omega) E_j(\mathbf{q}, \omega)$$

- **Dielektrische Funktion**

$$\epsilon_{ij}(\mathbf{q}, \omega) = 1 + \chi_{ij}(\mathbf{q}, \omega)$$

- **allgemeine Eigenschaften der dielektrische Funktion (ohne Beweis)**

- $\epsilon(-\mathbf{q}, -\omega) = \epsilon^*(\mathbf{q}, \omega)$ (da $\epsilon(\mathbf{r}, t)$ eine reelle Funktion von \mathbf{r}, t sein muss)
- $\epsilon_{ij}(\mathbf{q}, \omega) = \epsilon_{ji}(-\mathbf{q}, \omega)$ (folgt aus Onsager-Beziehungen, die aus Zeitumkehrsym. der mikr. Prozesse resultieren)

- **rein lokale und instantane Antwort**

- dieelektrische Funktion $\epsilon(\mathbf{r}, t)$ ist proportional zu δ -Funktion in Ort und Zeit
 - ➔ $\epsilon(\mathbf{q}, \omega) = \text{const.}$ (keine Dispersion, keine Frequenzabhängigkeit)
 - ➔ endliche q - und ω -Abhängigkeit der dielektrischen Funktion spiegelt nichtlokale und zeitverzögerte Antwort des FK wider

- **Näherung für nicht allzu hohe Frequenzen bis in den optischen Bereich**

- $\epsilon(\mathbf{q}, \omega) \simeq \epsilon(\mathbf{q} = 0, \omega) = \epsilon(\omega)$, da Wellenlänge $\lambda \gg a$ bzw. $q \ll \pi/a \simeq 0$

11.1.1 Dielektrische Funktion

II. Elektrischer Leiter in E -Feld $\mathbf{E}(\mathbf{r}, t) = \mathbf{E}(\mathbf{q}, \omega) \exp(i[\mathbf{q} \cdot \mathbf{r} - \omega t])$ (gebundene und freie Elektronen)

- Maxwell-Gleichungen plus Ohmsches Gesetz: E -Feld erzeugt zusätzlich elektrische Stromdichte \mathbf{J}_q

$$\nabla \times \mathbf{E} = -\frac{\partial \mathbf{B}}{\partial t} \qquad \mathbf{J}_q = \sigma \mathbf{E}$$

$$\nabla \times \mathbf{H} = \mathbf{J}_q + \frac{\partial \mathbf{D}}{\partial t}$$

- Übergang zu Fourier-Komponenten

$$\nabla \times \mathbf{H} = \sigma(\omega) \mathbf{E}(\omega) - i\omega\epsilon_0\epsilon(\omega)\mathbf{E}(\omega)$$

- Einführung von **verallgemeinerter Leitfähigkeit** $\tilde{\sigma}(\omega) = \sigma(\omega) - i\omega\epsilon_0\epsilon(\omega)$ (berücksichtigt Response von gebundenen Elektronen)

$$\nabla \times \mathbf{H} = \tilde{\sigma}(\omega) \mathbf{E}(\omega) \qquad (\tilde{\sigma} \text{ ist komplexe GröÙe})$$

- Einführung von **verallgemeinerter Dielektrizitätskonstante** $\tilde{\epsilon}(\omega) = \epsilon(\omega) + i\sigma/\epsilon_0\omega$ (berücksichtigt Response von freien Elektronen)

$$\nabla \times \mathbf{H} = -i\omega\epsilon_0\tilde{\epsilon}(\omega) \mathbf{E}(\omega) \qquad (\tilde{\epsilon} \text{ ist komplexe GröÙe})$$

- **dielektrische Phänomene:** Bewegung von gebundenen Ladungen
- **Leitfähigkeitsphänomene:** Bewegung von freien Ladungen

11.1.2 Kramers-Kronig-Relationen

- Kramers-Kronig-Relationen (sind nur im Bereich der linearen Antwort gültig)
 - Kramers-Kronig-Relationen basieren auf Kausalitätsprinzip

$$\epsilon_r(\omega) - 1 = \frac{2}{\pi} \wp \int_0^{\infty} \frac{\omega' \epsilon_i(\omega')}{\omega'^2 - \omega^2} d\omega'$$

\wp = Hauptwert des Integrals

$$\epsilon_i(\omega) = -\frac{2\omega}{\pi} \wp \int_0^{\infty} \frac{\epsilon_r(\omega')}{\omega'^2 - \omega^2} d\omega'$$

- Kramers-Kronig-Relationen stellen Beziehung zwischen Real- und Imaginärteil der dielektrischen Funktion her
 - ➔ wichtig für Experiment: ein Teil kann durch Messung des anderen Teils berechnet werden

11.1.3 Absorption, Transmission und Reflexion

- Zusammenhang zwischen der dielektrischen Funktion und den optischen Materialeigenschaften

wir betrachten ungeladenen Festkörper: $\nabla \cdot \mathbf{D} = \rho = 0$ ($\mu = 1$, unmagnetisches Medium)

Wellengleichung: $\nabla^2 \mathbf{E} = \mu_0 \epsilon_0 \tilde{\epsilon} \frac{\partial^2 \mathbf{E}}{\partial t^2} = \frac{1}{v_{\text{ph}}^2} \frac{\partial^2 \mathbf{E}}{\partial t^2}$ mit $v_{\text{ph}} = \frac{1}{\sqrt{\mu_0 \epsilon_0 \tilde{\epsilon}}} = \frac{c}{\sqrt{\tilde{\epsilon}}} = \frac{c}{\tilde{n}}$

$$\tilde{n}(\omega) = n(\omega) + i \kappa(\omega) = \sqrt{\tilde{\epsilon}}$$

Brechungsindex

Extinktionskoeffizient

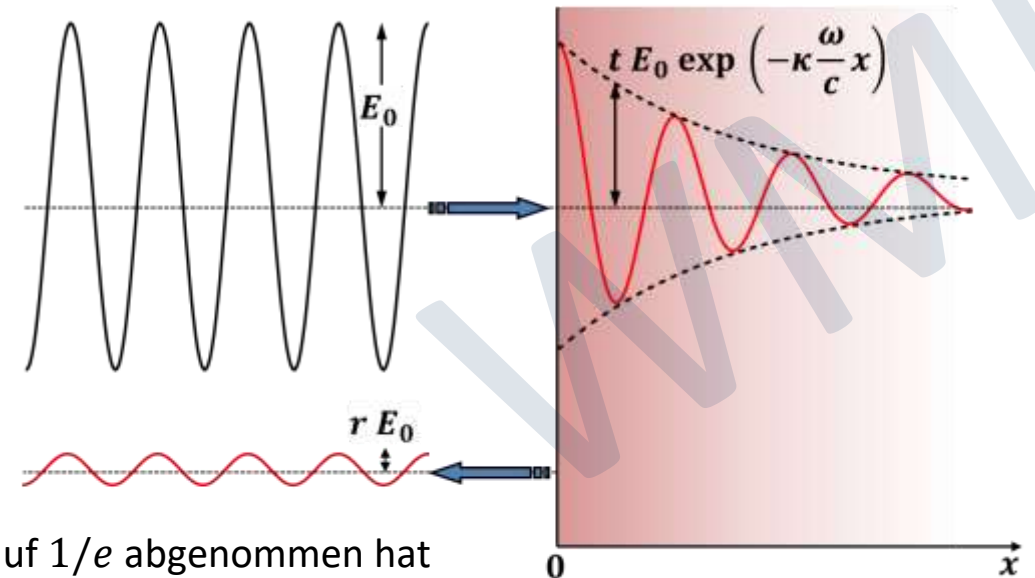
($\tilde{\epsilon} = \epsilon_r + i \epsilon_i$, komplexe dielektrische Funktion
 $\tilde{n} = n + i \kappa$, komplexer Brechungsindex)

$$n^2 - \kappa^2 = \epsilon_r, \quad 2n\kappa = \epsilon_i$$

mit Dispersionsrelation $\omega = \left(\frac{c}{\tilde{n}}\right) \tilde{k}$ folgt:

$$\tilde{k} = k_r + i k_i = \tilde{n} \frac{\omega}{c} = n \frac{\omega}{c} + i \kappa \frac{\omega}{c}$$

$$E = E_0 \exp \left[i \left(n \frac{\omega}{c} x - \omega t \right) \right] \exp \left(-\kappa \frac{\omega}{c} x \right)$$



$(2\pi\kappa)^{-1}$ gibt an, nach wievielen Wellenlängen das E -Feld auf $1/e$ abgenommen hat

11.1.3 Absorption, Transmission und Reflexion

- Absorptionskoeffizient K : Gibt Abschwächung der Intensität nach Durchlaufen der Materialdicke 1 an

– absorbierte Leistung: $P_{\text{dis}} = \Re(\mathbf{J} \cdot \mathbf{E})$

$$\mathbf{J}(\omega) = [\sigma(\omega) - i\omega\epsilon_0\epsilon(\omega)] \mathbf{E}(\omega) = -i\omega\epsilon_0 \left(\frac{i\sigma}{\omega\epsilon_0} + \epsilon \right) \mathbf{E}(\omega) = -i\omega\epsilon_0 \tilde{\epsilon} \mathbf{E}(\omega)$$

$$P_{\text{dis}} = \Re(-i\omega\epsilon_0 \tilde{\epsilon}(\omega) \mathbf{E}^2) = 2\kappa(\omega)n(\omega) \omega\epsilon_0 E_0^2 \exp\left(-2\kappa(\omega) \frac{\omega}{c} x\right)$$

$$E = E_0 \exp\left[i\left(n\frac{\omega}{c}x - \omega t\right)\right] \exp\left(-\kappa\frac{\omega}{c}x\right)$$

$$\rightarrow K(\omega) = 2\kappa(\omega) \frac{\omega}{c} = \frac{4\pi\kappa(\omega)}{n\lambda} = \frac{2\kappa k}{n} = \frac{\epsilon_i(\omega)\omega}{nc}$$

Absorptionskoeffizient

K^{-1} gibt an, nach welcher Länge die Intensität auf $1/e$ abgenommen hat

– Reflexions- und Transmissionskoeffizienten sind durch Fresnelsche Formeln gegeben:

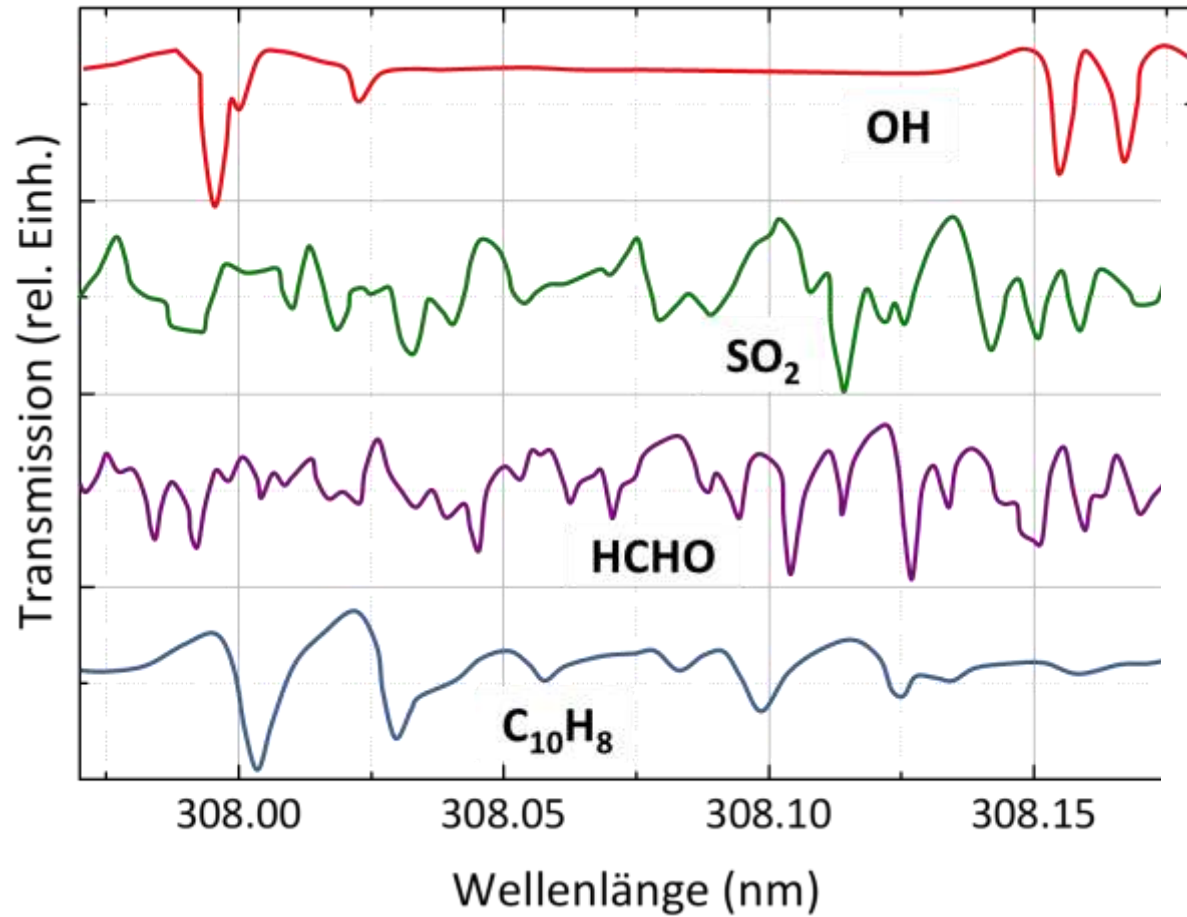
$$r = \frac{\tilde{n} - 1}{\tilde{n} + 1} \quad |t|^2 = 1 - |r|^2 \quad (\text{Reflexionsamplituden für senkrechten Lichteinfall})$$

$$R = |r|^2 = \left| \frac{\tilde{n} - 1}{\tilde{n} + 1} \right|^2 = \frac{(n - 1)^2 + \kappa^2}{(n + 1)^2 + \kappa^2}, \quad T = 1 - R = \frac{4n}{(n + 1)^2 + \kappa^2}$$

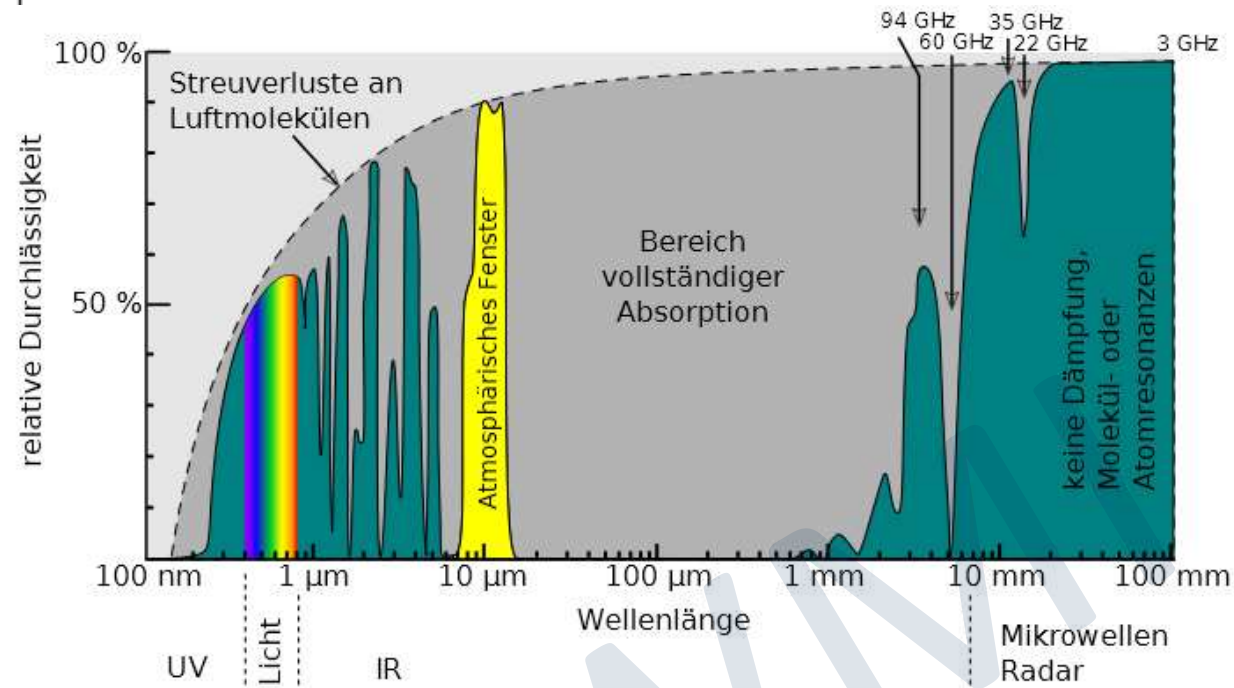
Reflexions- und Transmissionskoeffizient

11.1.3 Absorption, Transmission und Reflexion

- Transmissionsspektren zur Analyse von Spurengasen in Atmosphäre



Durchlässigkeit der Atmosphäre



Quelle: Herbertweidner (2008)

<https://commons.wikimedia.org/w/index.php?curid=10348609>

Transmissionsspektren von OH-Radikalen, dem Spurengas SO₂, Formaldehyd (HCHO) und Naphthalin (C₁₀H₈) im UV-Bereich um 308 nm (Quelle: Forschungszentrum Jülich)

11.1.4 Lokales elektrisches Feld

- Wie sieht der Zusammenhang zwischen dem von außen wirkenden Feld E_{mak} und dem lokal am Ort eines Atoms wirkenden Feld E_{lok} aus?

makroskopisches Feld \Leftrightarrow mikroskopisches Feld

- betrachten wir nur ein einzelnes Atom, so sind beide Felder gleich: $\mathbf{E}_{\text{mak}} = \mathbf{E}_{\text{lok}}$
- im Festkörper ist die Situation komplizierter:

$$E_{z,\text{lok}} = E_{z,\text{mak}} + \frac{1}{4\pi\epsilon_0} \sum_i p_{i,\text{el}} \frac{3z_i^2 - r_i^2}{r_i^5}$$

von außen wirkendes
makroskopisches Feld

Summe aller atomaren
Dipolfelder

Annahme:

alle Dipolmomente haben Betrag $p_{i,\text{el}}$ und zeigen in z-Richtung

- Welchen Wert ergibt die Summe im Zentrum einer Kugel aus gleichen Dipolen $p_{i,\text{el}} = p_{\text{el}}$?

$$E_{z,\text{dip}} = \frac{p_{\text{el}}}{4\pi\epsilon_0} \sum_i \frac{3z_i^2 - r_i^2}{r_i^5} = \frac{p_{\text{el}}}{4\pi\epsilon_0} \sum_i \frac{2z_i^2 - x_i^2 - y_i^2}{r_i^5} = 0$$

$$\text{da } \sum_i \frac{x_i^2}{r_i^5} = \sum_i \frac{y_i^2}{r_i^5} = \sum_i \frac{z_i^2}{r_i^5} = \frac{1}{3} \sum_i \frac{x_i^2}{r_i^5} =$$

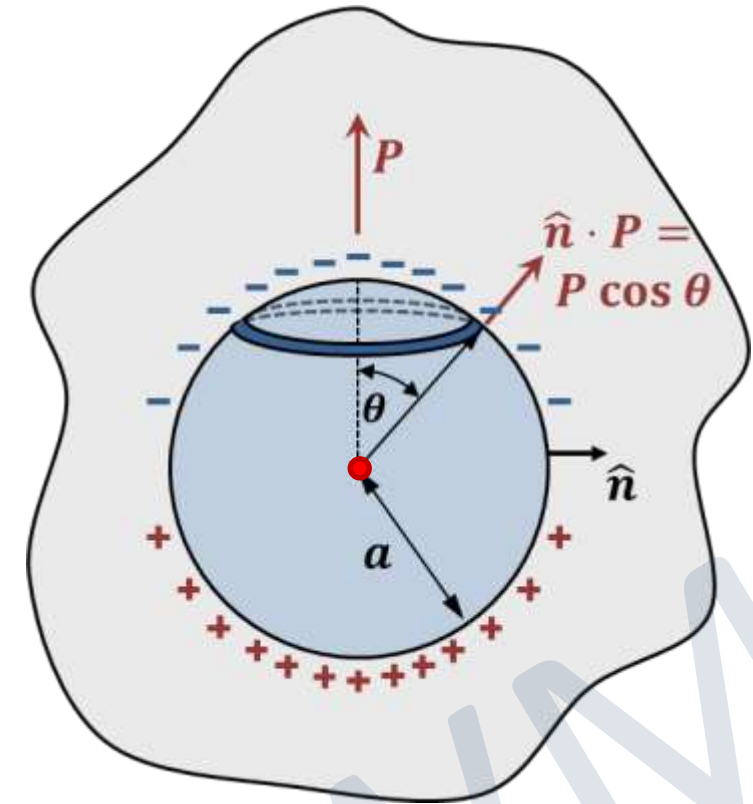
➔ für einen kugelförmigen FK entspricht das lokale Feld im Zentrum der Kugel dem makroskopischen Feld

➔ diese einfache Situation liegt aber im Experiment leider nur selten vor !

11.1.4 Lokales elektrisches Feld

- Trick: Wir betrachten einen beliebig geformten FK und schneiden um das betrachtete Atom eine kleine Kugel heraus
 - Beitrag der Dipolfelder aller Atome innerhalb dieser Kugel ist am Ort des Atoms Null
 - Größe der Hohlkugel:
 - Radius $a \gg$ Gitterkonstante ($\sim \text{Å}$)
 - Radius $a \ll \lambda$ des E -Feldes ($\lambda \sim 500 \text{ nm}$ für sichtbares Licht)
 - Kugel um Atom liefert keinen Beitrag, was trägt der Rest bei?
 - $a \gg$ Gitterkonstante \rightarrow es kann eine kontinuierlich Verteilung der Dipole auf der Innenseite der Hohlkugel angenommen werden
 - Beschreibung mit kontinuierlicher Polarisation P bzw. Oberflächenladung ρ_P

$$\rho_P = -P_{\perp} = -\hat{\mathbf{n}} \cdot \mathbf{P} = -P \cos \theta$$



Allgemeines Theorem der Elektrodynamik: elektrische Feld eines homogen polarisierten Festkörpers entspricht dem Vakuumfeld einer effektiven Flächenladungsdichte ρ_P auf seiner Oberfläche

11.1.4 Lokales elektrisches Feld

- Welches Feld erzeugt Oberflächenladung ρ_P im Zentrum der Kugel?

- Ladung dq von ringförmigem Oberflächenelement

$$dq = -P \cos \theta \cdot 2\pi a \sin \theta \cdot a d\theta$$

- Beitrag zu E -Feld (**Lorentz-Feld**) im Zentrum der fiktiven Kugel

$$dE_{L,z} = -\frac{1}{4\pi\epsilon_0} \frac{dq}{a^3} \hat{\mathbf{z}} \cdot a \hat{\mathbf{n}}$$

$$dE_{L,z} = -\frac{1}{4\pi\epsilon_0} \frac{dq}{a^2} \cos \theta = \frac{1}{4\pi\epsilon_0} \frac{\cos \theta}{a^2} \cdot P \cos \theta \cdot 2\pi a \sin \theta \cdot a d\theta$$

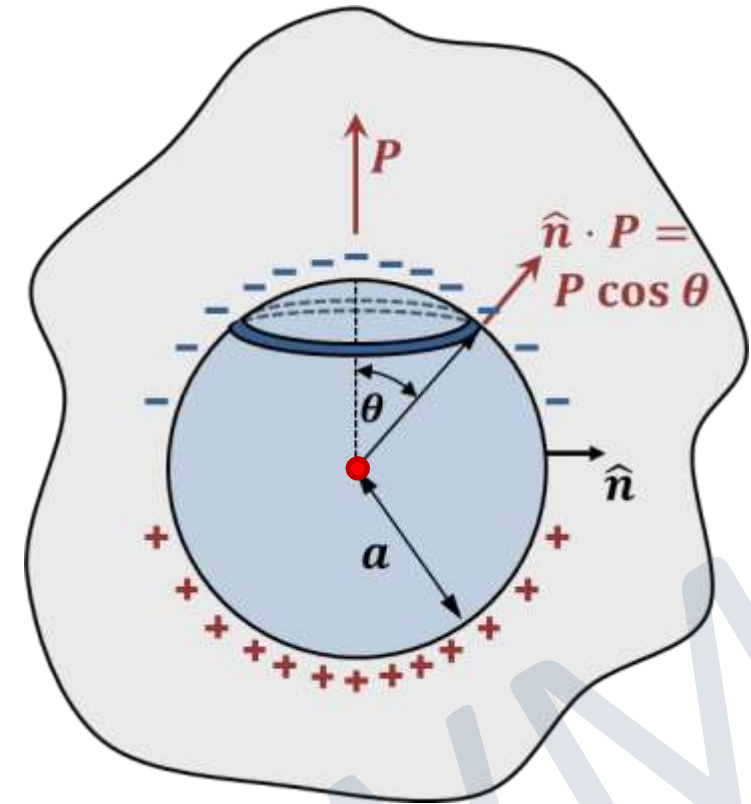
- Winkelintegration ergibt **Lorentz-Feld**

$$E_{L,z} = \frac{P}{2\epsilon_0} \int_0^\pi \cos^2 \theta \sin \theta d\theta = \frac{1}{3\epsilon_0} P$$

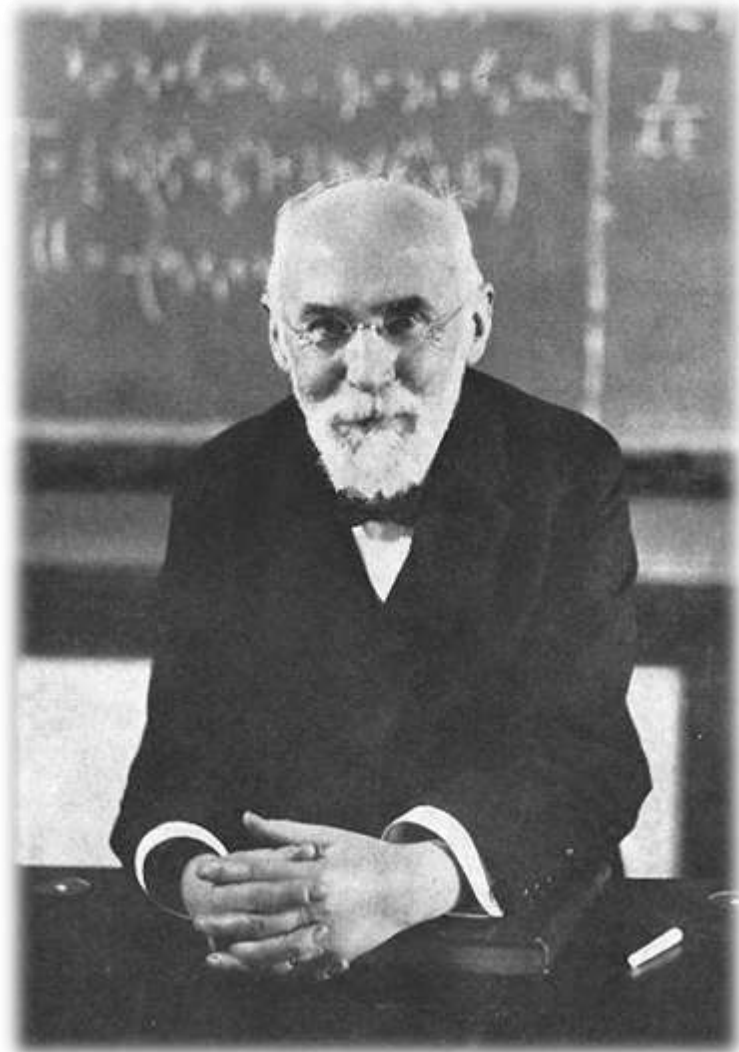
- Lokales Feld = makroskopisches Feld + Lorentz-Feld

$$\mathbf{E}_{\text{lok}} = \mathbf{E}_{\text{mak}} + \mathbf{E}_L = \mathbf{E}_{\text{mak}} + \frac{1}{3\epsilon_0} \mathbf{P}$$

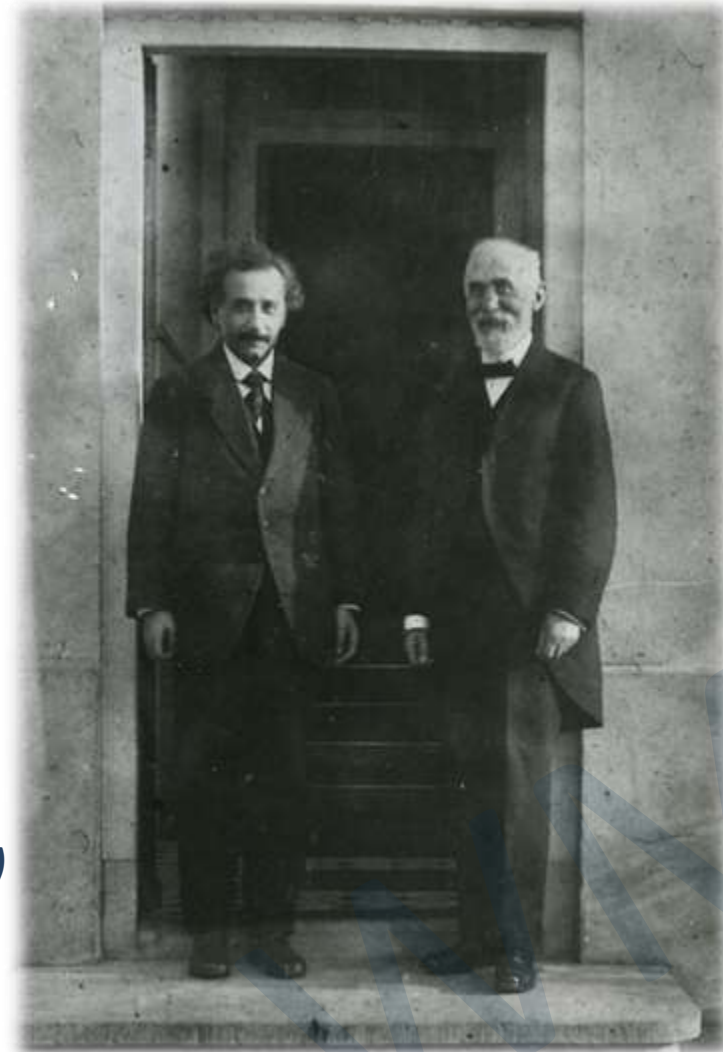
Lorentz-Beziehung



11.1.4 Lokales elektrisches Feld



Hendrik Antoon Lorentz
(18 July 1853 – 4 February 1928)



Nobelpreis für Physik 1902: Hendrik Antoon Lorentz und Pieter Zeeman

"in recognition of the extraordinary service they rendered by their researches into the influence of magnetism upon radiation phenomena"

11.1.4 Lokales elektrisches Feld

- Woraus setzt sich das von außen wirkende makroskopische Feld zusammen?

makroskopisches Feld $E_{\text{mak}} = \text{externes Feld } E_{\text{ext}} + \text{Depolarisationsfeld } E_N$

← erzeugt durch externe Ladungen

→ erzeugt durch Oberflächenladungen

- **Depolarisationsfeld** oder **Entelektrisierungsfeld E_N** :

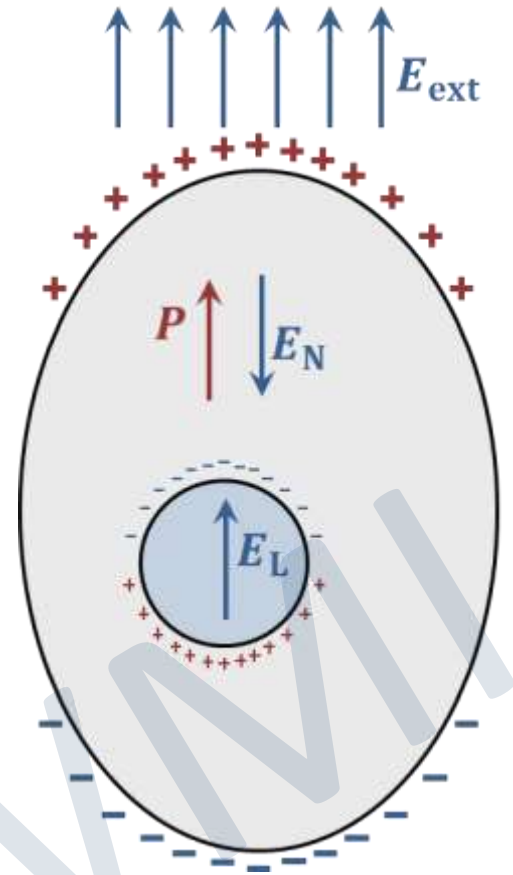
- wird durch Oberflächenladungsdichte $\hat{n} \cdot \mathbf{P}$ erzeugt
- für homogen polarisierte Proben kann Depolarisationsfaktor N verwendet werden

$$\mathbf{E}_N = -\frac{1}{\epsilon_0} N \mathbf{P}$$

$N = 1$, dünne Scheibe senkrecht zu \mathbf{P}
 $N = 0$, dünne Scheibe parallel zu \mathbf{P}
 $N = 1/3$, Kugel

- **lokales Feld:**

$$\mathbf{E}_{\text{lok}} = \mathbf{E}_{\text{mak}} + \mathbf{E}_L = \mathbf{E}_{\text{ext}} + \mathbf{E}_N + \mathbf{E}_L = \mathbf{E}_{\text{ext}} - \frac{1}{\epsilon_0} N \mathbf{P} + \frac{1}{3\epsilon_0} \mathbf{P}$$



• Dielektrische Eigenschaften

- Beschreibung der Reaktion von Festkörper auf von außen wirkendes E -Feld (nur lineare Antwort)
 - (i) mikroskopisch: WW einzelner Photonen mit Festkörperanregungen, z.B. Absorption von Photon
 - (ii) makroskopisch: Maxwell-Gleichungen plus Materialparameter $\epsilon(\mathbf{q}, \omega)$ bzw. $\chi(\mathbf{q}, \omega)$, $\sigma(\mathbf{q}, \omega)$
 - Zusammenhang zwischen mikroskopischer und makroskopischer Beschreibung
- Photonen haben kleinen Wellenvektor → oft nur Grenzfall $q \rightarrow 0$ relevant

• makroskopische E-Dynamik

- Reaktion von Isolator auf E -Feld ist **Polarisation**:

$$P_i(\mathbf{r}', t') = \epsilon_0 \sum_j \int \chi_{ij}(\mathbf{r}, t, \mathbf{r}', t') E_j(\mathbf{r}, t) d^3r dt$$

Tensor der el. Suszeptibilität

- **elektrisches Dipolmoment**: $\mathbf{p}_{el} = \sum_i q_i \mathbf{r}_i$

SI-Einheit: C·m = Ladung·Verschiebung
 CGS-Einheit: 1 Debye = 3.3×10^{-30} C·m = $0.21 e \cdot \text{\AA}$

- **Polarisation** $\mathbf{P} = \frac{\mathbf{p}_{el}}{V}$

SI-Einheit: C/m² = Ladung/Fläche

- Darstellung im Frequenzraum (mit Faltungssatz):

$$P_i(\mathbf{q}, \omega) = \epsilon_0 \sum_j \chi_{ij}(\mathbf{q}, \omega) E_j(\mathbf{q}, \omega) \quad \longrightarrow \quad D_i(\mathbf{q}, \omega) = \epsilon_0 \sum_j \epsilon_{ij}(\mathbf{q}, \omega) E_j(\mathbf{q}, \omega)$$

$\mathbf{D} = \epsilon_0 \mathbf{E} + \mathbf{P}$

dielektrische Verschiebung

$$\epsilon_{ij}(\mathbf{q}, \omega) = 1 + \chi_{ij}(\mathbf{q}, \omega) \quad \text{Dielektrizitätstensor}$$

- **Metall**: Beiträge von gebundenen und frei beweglichen Elektronen

→ Berücksichtigung in verallgemeinerter dielektrischer Funktion bzw. verallgemeinerten Leitfähigkeit

$$\tilde{\epsilon}(\omega) = \epsilon(\omega) + i\sigma/\epsilon_0\omega$$

$$\tilde{\sigma}(\omega) = \sigma(\omega) - i\omega\epsilon_0\epsilon(\omega)$$

Zusammenfassung: Teil 9b, 26.04.2021/1

- optische Größen: $\tilde{n}(\omega) = n(\omega) + i \kappa(\omega) = \sqrt{\tilde{\epsilon}}$

Brechungsindex

Extinktionskoeffizient

$$n^2 - \kappa^2 = \epsilon_r, \quad 2n\kappa = \epsilon_i$$

Absorptions-, Reflexions- und Transmissionskoeffizient:

$$K(\omega) = 2\kappa(\omega) \frac{\omega}{c} = \frac{4\pi\kappa(\omega)}{n\lambda} = \frac{2\kappa k}{n} = \frac{\epsilon_i(\omega)\omega}{n}$$

$$R = \left| \frac{\tilde{n} - 1}{\tilde{n} + 1} \right|^2 = \frac{(n-1)^2 + \kappa^2}{(n+1)^2 + \kappa^2}, \quad T = 1 - R = \frac{4n}{(n+1)^2 + \kappa^2}$$

K^{-1} : Länge, auf der die Intensität auf $1/e$ abnimmt

Bruchteil der bei senkrechter Inzidenz reflektierten Intensität

• lokales elektrisches Feld

$$E_{z,\text{lok}} = E_{z,\text{mak}} + \frac{1}{4\pi\epsilon_0} \sum_i p_{i,\text{el}} \frac{3z_i^2 - r_i^2}{r_i^5}$$

Summe aller atomaren Dipolfelder

von außen wirkendes makroskopisches Feld

- Mittelung der Dipolfelder innerhalb einer Kugel verschwindet im Zentrum der Kugel

$$\rightarrow \mathbf{E}_{\text{lok}} = \mathbf{E}_{\text{mak}} + \frac{\mathbf{P}}{3\epsilon_0} = \mathbf{E}_{\text{mak}} + \mathbf{E}_L$$

Lorentz-Beziehung, Lorentz-Feld $\mathbf{E}_L = \mathbf{P}/3\epsilon_0$

- Depolarisationsfeld: $\mathbf{E}_N = -\frac{1}{\epsilon_0} N \mathbf{P}$ Depolarisationsfaktor $N = 1$ bzw. 0 für dünne Scheibe \perp bzw. \parallel zu E_{ext}



$$\mathbf{E}_{\text{lok}} = \mathbf{E}_{\text{mak}} + \mathbf{E}_L = \mathbf{E}_{\text{ext}} + \mathbf{E}_N + \mathbf{E}_L = \mathbf{E}_{\text{ext}} - \frac{1}{\epsilon_0} N \mathbf{P} + \frac{1}{3\epsilon_0} \mathbf{P}$$

